

各種 制限條件 下에서의 PI制御器의 最適設計에 關한 研究

吳 世 駿

A Study on the Optimum Design of the PI Controller
under the Various Constraints

Oh Saejun

.....〈目次〉.....	
Abstract	
記號說明	
1. 序論	
2. 理論的 考察	
2·1 旦尋互線圖 및 傳達函數	
2·2 制御系統의 狀態方程式 表示	
2·3 評價函數	
2·4 各種 制限條件	
3. 數值計算	
4. 應答實驗	
4·1 裝置 및 方法	
4·2 應答實驗結果	
5. 檢討	
5·1 制御器의 Parameter에 對한 檢討	
5·2 w_n 에 對한 檢討	
5·3 應答實驗에 對한 檢討	
5·4 制限條件에 對한 檢討	
5·5 周波數應答에 對한 檢討	
6. 結論	
參考文献	

Abstract

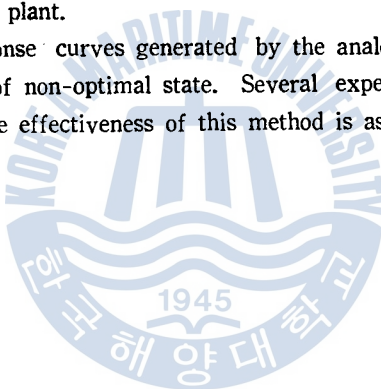
In the design of a controller, the percent peak overshoot, rise time, and settling time are generally very important factors.

It should be considered sufficiently that the system has relative stability and adequate characteristics of the steady state response and transient response according to the object, and that the controller is to be designed to optimize the system in some sense subject to some constraints.

In the paper, a method to determine the optimal parameters of the PI controller in the unity-feed back control system is proposed. Here the sense of the optimum is to minimize the integral of the square of the control error under the constraints that the maximum absolute value of control input, maximum overshoot, rise time, etc., should be smaller than the pre-given values.

In the analysis, the traditional method and the state variable method are combined in order to reduce the computational procedures required in the design of PI controller. Therefore, the procedures proposed in the paper will be usefully applicable to the practical feed back control system with a second-order plant.

Finally, the indicial response curves generated by the analog computer at the optimal state are compared with those of non-optimal state. Several experiments of responses showed good results as expected, and the effectiveness of this method is ascertained.



記 號 說 明

$G_C(s)$: 制御器의 傳達函數	$U_{R_{max}}$: 制御對象의 最大入力
$G_P(s)$: 制御對象의 傳達函數	$C_{D_{max}}$: 外亂에 對한 制御系의 最大出力
K_P	: 制御器의 定常利得	$U_{D_{max}}$: 外亂에 對한 制御對象의 最大入力
T_i	: 制御器의 積分時間	C_{RP}	: 最大 오우며 슈우트의 制限值 (%)
k	: 制御對象의 定常利得	U_P	: 制御對象의 最大入力의 制限值
ζ	: 制御對象의 減衰率	C_{DP}	: 外亂에 對한 最大出力의 制限值
w_s	: 制御對象의 固有角周波數	T_R	: rise time (sec)
R	: 目標值 入力	t_p	: rise time 的 制限值 (sec)
E	: 制御系 誤差	C_R	: 制御系統의 應答出力
M	: 制御器 出力	M_P	: 共振值
U	: 制御對象의 入力	v_p	: w_p/w_s
C	: 制御系 出力	w_p	: resonant frequency (rad/sec)
D	: 外亂	P_M	: 位相餘裕 (%)
J	: 評價函數	v_p'	: w_p'/w_s
$C_{R_{max}}$: 制御系의 最大오우며 슈우트 (%)	w_p'	: gain-crossover frequency (rad/sec)

1. 序 論

一般的으로 制御系統을 設計하는데 있어 所期의 目的을 達成하기 위해서는 여러가지 制御特性이考慮되어야 한다. 考慮되어야 할 制御特性으로서는 優先 制御系統이 安定해야 하고 目標值의 變化에 對한 滿足할 만한 定常誤差特性과 過渡應答特性 및 周波數特性을 가져야 하며 퍼래미터 變化에 對해 敏感하지 않아야 한다. 또한 外亂이나 雜音에 對한 影響이 적어야 하며 適切한 速應性이 있어야 한다.

制御系統의 最適設計에 있어서 評價函數는 위 여러가지 特性들을 慎重히 考慮하여 決定해야 하지만 實際로는 모든 事項들이 全部 다 考慮될 수가 없고 一部는 制限條件으로서 附加되어 最適設計의 基準을 定하는 境遇가 많다.

制御器의 設計 特히 補償器(compensator)에 對해서는 캐스캐이드 補償法(cascade compensation) 및 피이드백 補償法(feed back compensation)에 關해 Chestnut,³⁾ Guillemin,⁴⁾ Truxal,⁵⁾ Savant⁶⁾ 等 많은 사람에 依해서 오래 前부터 研究된 바가 있지만 이들은 主로 安定性 問題에 重點을 두고서 研究하였다. 柳는 遲延要素를 隨伴하는 一次系統의 制御對象에 對한 直結피이드백 制御系統에 있어서 PID 制御器의 最適퍼래미터를 決定하는 方法을 提示하였으며⁷⁾ 또한 河 等은 “二次系의 制御對象에 對한 PI制御器의 最適調整에 關한 研究”에서⁸⁾ PI制御器를 使用할 때 二乘制御面積(Integral of the square of the error)을 評價函數로 定義하고 이 評價函數를 最少로 하는 制御器의 퍼래미터(parameter)를 解析的으로 決定하는 한 方法을 提示한 바 있다.

그 結果에 依하면 制御器의 利得 K_P 값을 크게 調整하면 한 수록 二乘制御面積은 적어지며 그 때의 積分時間 T_i 값은 K_P 값에 따라서 一意的으로 決定된다. 그러나 實際에 있어서는 K_P 값을 無限定크

게 할 수는 없으며 또한 K_p 값을 無限히 크게 할 때는 플랜트의 操作量이 無限히 커져 오히려 바람직하지 못할 境遇도 있다.

따라서 筆者들은 어떤 制御系統에 있어서 最大로 許容되는 操作量의 크기 및 最大오우버슈우트, rise time 等 몇 가지 制限條件을 設定하고 이 制限條件를 滿足하는 範圍內에서 二乘制御面積을 最少로 하는 PI 制御器의 最適퍼래미터 즉, 利得 K_p 와 積分時間 T_i 값을 決定하는 方法에 對해서 考察하고자 한다.

本 論文에서는 制御系統을 狀態方程式 形態로 表示하고 이 狀態方程式을 數值積分하여 過渡應答, 最大오우버슈우트, 最大플랜트入力, rise time 等을 計算하여 各 制限條件에 符合되는지를 判定하기로 한다.

本 論文에서 提示하는 方法을 利用할 것 같으면 PI 制御器의 K_p 값에 對해 最少 二乘制御面積을 갖게 하는 積分時間 T_i 값이 一意的으로 決定되기 때문에 通常 數值計算 時 廣範圍한 領域에서 찾아야 하는 最適퍼래미터를 매우 쉽게 求할 수가 있다. 즉, 이것은 어떤 制御對象을 比例一積分方式으로 制御할 時 주어진 制限條件를 滿足하여 評價函數를 最少로 하는 最適퍼래미터를 求하기 為한 計算機의 計算量과 計算時間을 相當히 節約할 수 있음을 나타낸다. 몇 개의 實驗플랜트에 對해 本 方法으로 求한 퍼래미터가 制限條件를 滿足하는 範圍內에서의 最適值임을 아날로그 計算機를 利用한 應答實驗을 通하여 確認하고 또한 周波數應答에 있어서의 共振值, 位相餘裕를 檢討함으로써 本 方法의 有效性을 確認하기로 한다.

2. 理論的 考察

2·1 브록크線圖 및 傳達函數

一般的으로 單位 피이드백 루우프를 가지는 連續的인 自動制御系統의 브록크線圖를 나타내고 있는 Fig. 2-1에서 $R(s)$ 는 外部에서 加해지는 階段狀 入力이며 $D(s)$ 는 外亂, 그리고 $C(s)$ 는 制御系統의 出力이고, $E(s)$, $M(s)$, $U(s)$ 는 각各 制御誤差, 制御器의 出力 및 制御플랜트의 入力에 對한 각各의 라프라스 變換을 나타낸다. 또한 二次系統의 制御對象을 갖는 PI 制御器에서 制御器의 傳達函

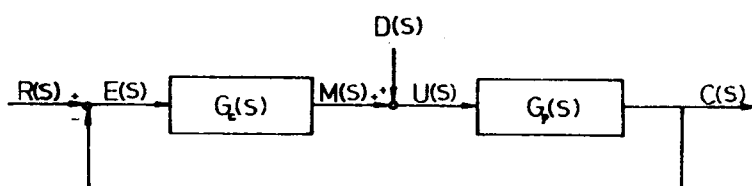


Fig. 2-1 block diagram of a general unity-feed back system.

數 $G_c(s)$ 및 制御對象의 傳達函數 $G_P(s)$ 는 各各 다음과 같이 表示된다.

但, K_P : 制御器의 定常利得

T_i : 積分時間

$$G_P(s) = \frac{kw_n^2}{s^2 + 2\zeta w_n s + w_n^2} \quad \dots \dots \dots \quad (2.2)$$

但, k : 制御對象의 定常利得

減衰率

ω_n :固有角周波數

입력 $R(s)$ 과 외亂 $D(s)$ 가 加해지는 Fig. 2-1 과 같은 制御系統에서 $C(s)$, $E(s)$, $M(s)$ 및 $U(s)$ 를 求하면 다음과 같다.

$$C(s) = \frac{G_c(s)G_P(s)}{1+G_c(s)G_P(s)}R(s) + \frac{G_P(s)}{1+G_c(s)G_P(s)}D(s)$$

$$= \frac{kK_Pw_n^2(S+1/T_i)}{S^3 + 2\zeta w_n S^2 + w_n^2(1+kK_P)S + kK_Pw_n^2/T_i} R(s)$$

$$+ \frac{kw_n^2 S}{S^3 + 2\zeta w_n S^2 + w_n^2(1+kK_P)S + kK_Pw_n^2/T_i} D(s) \dots \dots \dots (2.3)$$

$$E(s) = R(s) - C(s) \\ = R(s) - \left\{ \frac{kK_P w_n^2 (S + 1/T_i)}{S^3 + 2\zeta w_n S^2 + w_n^2 (1 + kK_P)S + kK_P w_n^2 / T_i} R(s) \right. \\ \left. + \frac{k w_n^2 S}{S^3 + 2\zeta w_n S^2 + w_n^2 (1 + kK_P)S + kK_P w_n^2 / T_i} D(s) \right\} \quad \dots \dots \dots (2.4)$$

$$M(s) = G_c(s)E(s) \\ = \left\{ K_p + \frac{K_p/T_s S^2 + K_p(2\zeta w_n/T_i - kK_p w_n^2)S + K_p w_n^2(1-kK_p)/T_i}{S^3 + 2\zeta w_n S^2 + w_n^2(1+kK_p)S + kK_p w_n^2/T_i} \right\} R(s) \\ - \frac{kK_p w_n^2(S+1/T_i)}{S^3 + 2\zeta w_n S^2 + w_n^2(1+kK_p)S + kK_p w_n^2/T_i} D(s) \quad \dots \dots \dots (2.5)$$

$$U(s) = M(s) + D(s)$$

$$= \left\{ K_p + \frac{K_p/T_i S^2 + K_p(2\zeta w_n/T_i - kK_p w_n^2)S + K_p w_n^2(1-kK_p)/T_i}{S^3 + 2\zeta w_n S^2 + w_n^2(1+kK_p)S + kK_p w_n^2/T_i} \right\} R(s)$$

$$+ \left\{ 1 - \frac{kK_p w_n^2(S+1/T_i)}{S^3 + 2\zeta w_n S^2 + w_n^2(1+kK_p)S + kK_p w_n^2/T_i} \right\} D(s) \quad \dots \dots \dots (2.6)$$

式(2·3)~(2·6)에서 階段狀入力 $R(s)$ 만 作用할 때(즉, $R(s) = r/s$, $D(s) = 0$)의 制御器出力 $C_R(s)$ 는 式(2·3)에서

$$C_R(s) = \frac{k K_p w_n^2 (S + 1/T_i)}{S^3 + 2 \zeta w_n S^2 + w_n^2 (1 + k K_p) S + k K_p w_n^2 / T_i} R(s) \quad (2.7)$$

이고 또한 제어误差, 제어기 출력 및 제어플랜트 입력은 式(2·4), (2·5), (2·6)으로부터 각각 다음과 같이 表示된다

$$E_R(s) = R(s) - C_R(s) \\ = \left\{ 1 - \frac{k K_P w_n^2 (S + 1/T_i)}{S^3 + 2 \zeta w_n S^2 + w_n^2 (1 + k K_p) S + k K_p w_n^2 / T_i} \right\} R(s) \quad \dots \dots \dots (2.8)$$

$$M_R(s) = \left\{ K_P + \frac{K_P/T_i S^2 + K_P(2\zeta w_n/T_i - kK_P w_n^2)S + K_P w_n^2(1-kK_P)/T_i}{S^3 + 2\zeta w_n S^2 + w_n^2(1+kK_P)S + kK_P w_n^2/T_i} \right\} R(s) \quad (2.9)$$

$$U_R(s) = M_R(s) \quad (2.10)$$

또한 階段狀 外亂 $D(s)$ 만 作用할 때 (즉, $D(s) = d/s$, $R(s) = 0$)의 諸 式들은

$$C_D(s) = \frac{k w_n^2 S}{S^3 + 2\zeta w_n S^2 + w_n^2(1+kK_P)S + kK_P w_n^2/T_i} D(s) \quad (2.11)$$

$$E_D(s) = -C_D(s) \quad (2.12)$$

$$M_D(s) = -\frac{kK_P w_n^2(S+1/T_i)}{S^3 + 2\zeta w_n S^2 + w_n^2(1+kK_P)S + kK_P w_n^2/T_i} D(s) \quad (2.13)$$

$$\begin{aligned} U_D(s) &= M_D(s) + D(s) \\ &= \left\{ 1 - \frac{kK_P w_n^2(S+1/T_i)}{S^3 + 2\zeta w_n S^2 + w_n^2(1+kK_P)S + kK_P w_n^2/T_i} \right\} D(s) \end{aligned} \quad (2.14)$$

와 같이 表示되며 여기서 添字 R 과 D 는 各各 階段狀 入力과 外亂이 作用할 境遇를 意味한다. 以上의 式(2.7)~(2.10)과 式(2.11)~(2.14)에서 보면 모두 다 分母가 똑 같으며 이것은 다 똑 같은 特性方程式(characteristic equation)을 갖는다는 것을 意味한다.

2.2 制御系統의 狀態方程式 表示

式(2.7)~(2.10)과 式(2.11)~(2.14)로 表示되는 方程式은 微分方程式의 形態로 變換될 수 있으므로 다음과 같은 狀態方程式으로 表示할 수 있다.

$$\dot{\mathbf{x}}_R = A\mathbf{x}_R + Br \quad (2.15)$$

$$\dot{\mathbf{x}}_D = Ax_D + Bd \quad (2.16)$$

$$\mathbf{x}_R = \begin{pmatrix} x_1 \\ x_2 \\ x_3 \end{pmatrix}, \quad \mathbf{x}_D = \begin{pmatrix} x_4 \\ x_5 \\ x_6 \end{pmatrix}$$

$$A = \begin{bmatrix} 0 & 1 & 0 \\ 0 & 0 & 1 \\ -kK_P w_n^2/T_i & -w_n^2(1+kK_P) & -2\zeta w_n \end{bmatrix}, \quad B = \begin{bmatrix} 0 \\ 0 \\ 1 \end{bmatrix}$$

여기서 式(2.15), (2.16)의 目標值에 對한 入力 r 과 外亂에 對한 入力 d 의 狀態變數를 각各 w_R , w_D 라 두면

$$w_R = r, \quad w_D = d$$

$$\dot{w}_R = \dot{r} = 0, \quad \dot{w}_D = \dot{d} = 0$$

가 된다.

本 論文에서는 狀態벡터와 入力벡터를 結合한 새로운 벡터 \mathbf{Z}_R , \mathbf{Z}_D 를 定義하면

$$\mathbf{Z}_R = \begin{pmatrix} \mathbf{x}_R \\ \cdots \\ w_R \end{pmatrix} = \begin{pmatrix} x_1 \\ x_2 \\ x_3 \\ w_R \end{pmatrix} \quad (2.17)$$

$$\mathbf{Z}_D = \begin{pmatrix} \mathbf{x}_D \\ \dots \\ w_D \end{pmatrix} = \begin{pmatrix} x_t \\ x_5 \\ x_6 \\ w_D \end{pmatrix} \quad \dots \quad (2.18)$$

와 같이 되고 式(2·17)의 兩邊을 微分하고 式(2·15)를 右邊에 代入하면

$$\begin{aligned}\dot{\mathbf{Z}}_R &= \begin{pmatrix} \dot{\mathbf{x}}_R \\ \dots \\ \dot{w}_R \end{pmatrix} = \begin{pmatrix} A\mathbf{x}_R + Bw_R \\ \dots \\ \mathbf{0} \end{pmatrix} \\ &= \begin{pmatrix} A & : & B \\ \dots & & \dots \\ \mathbf{0} & & \end{pmatrix} \begin{pmatrix} \mathbf{x}_R \\ \dots \\ w_R \end{pmatrix} \\ &= F \cdot \mathbf{Z}_R \quad \dots \quad (2.19)\end{aligned}$$

$$\text{但, } F = \begin{pmatrix} 0 & 1 & 0 & 0 \\ 0 & 0 & 1 & 0 \\ -kK_P w_n^* / T_i & -w_n^*(1+kK_P) & -2\zeta w_n & 1 \\ 0 & 0 & 0 & 0 \end{pmatrix}$$

가 되며, 같은 方法으로 式(2·18)의 境遇도 다음과 같아진다.

$$\dot{\mathbf{Z}}_D = F\mathbf{Z}_D \quad \dots \quad (2.20)$$

또한 이를 方程式의 初期條件은

$$\mathbf{Z}_R(0) = \begin{pmatrix} 0 \\ 0 \\ 0 \\ r \end{pmatrix}, \quad \mathbf{Z}_D(0) = \begin{pmatrix} 0 \\ 0 \\ 0 \\ d \end{pmatrix}$$

와 같다.

여기서 벡터 Z_R , Z_D 의 엘레멘트 中에서 w_R , w_D 는 각各 階段狀入力 r 및 外亂 d 를 發生하기 為한 狀態變數이며 또 式(2·17), (2·18)의 벡터 Z_R 과 Z_D 를 結合시킨 새로운 벡터를 Z 라 定義하면 두 方程式은 다음과 같은 하나의 簡單한 狀態方程式으로 表示할 수 있다.

$$\frac{d\mathbf{Z}}{dt} = \begin{pmatrix} \dot{\mathbf{Z}}_R \\ \dots \\ \dot{\mathbf{Z}}_D \end{pmatrix} = \begin{pmatrix} F & \vdots & \mathbf{0} \\ \hline \mathbf{0} & \vdots & F \end{pmatrix} \begin{pmatrix} \mathbf{Z}_R \\ \dots \\ \mathbf{Z}_D \end{pmatrix} \quad \dots \quad (2.21)$$

初期條件 $\mathbf{Z}^T(0) = [0 \ 0 \ 0 \ r \ 0 \ 0 \ 0 \ d]$ 이다.

또 제어계统에 단계입력 R 과 외란 D 가 加해질 때 式(2·7)~(2·10)과 式(2·11)~(2·14)로 주어지는各式 左邊의 出力信號는 이 信號들을 엘레멘트로 하는 벡터 y_R 과 y_D 를 定義함으로써 이 y_R 과 y_D 에 關한 벡터 方程式으로 위의 式(2·7)~(2·14)의 各 式들은 다음과 같이 表示할 수 있다.

$$\text{但, } \mathbf{y}_R = \begin{pmatrix} c_R \\ e_R \\ m_R \\ u_p \end{pmatrix} \quad \mathbf{y}_D = \begin{pmatrix} c_D \\ e_D \\ m_D \\ u_p \end{pmatrix}$$

$$Q_R = \begin{pmatrix} kK_P w_n^2/T_i & kK_P w_n^2 & 0 & 0 \\ -kK_P w_n^2/T_i & -kK_P w_n^2 & 0 & 1 \\ K_P w_n^2(1-kK_P)/T_i & K_P(2\zeta w_n/T_i - kK_P w_n^2) & K_P/T_i & K_P \\ K_P w_n^2(1-kK_P)/T_i & K_P(2\zeta w_n/T_i - kK_P w_n^2) & K_P/T_i & K_P \end{pmatrix}$$

$$Q_D = \begin{pmatrix} 0 & kw_n^2 & 0 & 0 \\ 0 & -kw_n^2 & 0 & 0 \\ -kK_P w_n^2/T_i & -kK_P w_n^2 & 0 & 0 \\ -kK_P w_n^2/T_i & -kK_P w_n^2 & 0 & 1 \end{pmatrix}$$

또한 새로운 벡터 \mathbf{y} 를 定義함으로써 式(2·22), (2·23)로 表示되는 두 方程式은 다음의 式(2·24)로 表示되는 하나의 方程式으로 나타낼 수 있다.

2.3 評價函數

序論에서 밝힌 바와 같이 過渡應答의 質을 評價하는데 있어서 주어진 制限條件들을 滿足하면서 評價函數를 最少로 하는 最適파라미터를 求하는 것이 本 論文의 目的이다. 여기서는 評價函數로써 最適制御評價函數로 有用하게 利用되고 있는 制御誤差의 二乘面積(Integral of the square of the Error), 즉, 二乘制御面積에 對한 評價方法을 導入한다. 制御系統에 있어서 인디셜應答(indicial Response)에 對한 二乘制御面積은

로 주어지며 $\mathbf{y}_R^T Q \mathbf{y}_R = \|\mathbf{y}_R\|^2_Q = e_R^2$ 으로 表示되므로 式(2·25)는 다시 다음과 같이 表示할 수 있다.

$$J = \int_0^{\infty} ||\mathbf{y}_R||^2 \varrho \, dt \quad \dots \dots \dots \quad (2.26)$$

$$\text{但, } Q = \left\{ \begin{array}{cccc} 0 & 0 & 0 & 0 \\ 0 & 1 & 0 & 0 \\ 0 & 0 & 0 & 0 \\ 0 & 0 & 0 & 0 \end{array} \right.$$

인荷重메트릭스(Weighting Matrix)이다.⁷⁾

制限條件이考慮되지 않은 狀態에서 評價函數를 最少로 하는 PI制御器의 퍼래미터 K_p , T_i 및 그 때의最少二乘制御面積 J 는 앞서 河等이 研究發表한²⁾ 바 本論文에서 最適퍼래미터를 求하는 데 있어 有用하게 利用될 수 있으므로 그것을 要約 定理하면 다음과 같다.

- i) K_P 값은 가능한 한 큰 값을 取한다.
 ii) 이 때의 K_P 값에서 二乘制御面積을 最少로 하는 T_i 값을

$$T_i = \frac{k_{KP}(k_{KP} + 4\zeta^2 - 1)}{2\zeta w_n(\sqrt{(k_{KP} + 1)(k_{KP} + 4\zeta^2 - 1)} + 1) + 1 - 1} \quad \dots \dots \dots (2.27)$$

이다.

- iii) 이 때의 K_P , T 값에서 二乘制御面積의 最少값은

$$J = \frac{kK_P + 4\zeta^2 - 1 + 2\zeta w_n T_i / kK_P}{4\zeta w_n (kK_P + 1 - kK_P / 2\zeta w_n T_i)} \quad (2.28)$$

로 주어진다.

2·4 各種 制限條件

앞에서 論한 評價函數에 關한 式(2·26) 또는 式(2·28)로부터 設計하고자 하는 制御系統의 評價函數를 最少로 하면서 實際의 制御system이 要求되는 設計目的에 符合되도록 하기 为해서 各種 制限條件에 對해 다음의 式(2·29)~(2·33)과 같이 表示하기로 한다.

$$f_1 = |C_{Rmax.}| - C_{RP} \leq 0 \quad (2.29)$$

$$f_2 = |U_{Rmax.}| - U_P \leq 0 \quad (2.30)$$

$$f_3 = |C_{Dmax.}| - C_{DP} \leq 0 \quad (2.31)$$

$$f_4 = |U_{Dmax.}| - U_P \leq 0 \quad (2.32)$$

$$f_5 = T_R - t_P \leq 0 \quad (2.33)$$

但, $T_R = t_2 - t_1$

t_1 ; 應答出力 C_R 이 入力의 10(%)에 該當하는 데 所要되는 遷延時間

t_2 ; 應答出力 C_R 이 入力의 90(%)에 該當하는 데 所要되는 遷延時間

T_R ; rise time

여기서 式(2·29)~(2·33)中 制限條件에 關한 函數 f_1 과 f_3 는 目標值에 對한 階段狀入力과 外亂에 對한 階段狀入力이 加해질 때 각각의 出力 C_R , C_D 의 最大值를 制限하며, 또한 f_2 와 f_4 는 플랜트에 加해지는 制御入力이 要求되는 限界值를 넘지 않도록 制限한다.

또, f_5 는 階段狀入力에 對한 出力信號 C_R 가 入力 R 의 10%에서 90%까지 遷答하는 데 所要되는 遷延時間 즉, rise time⁸⁾을 制限하도록 하는 條件式이다. 式(2·29), (2·30)에서 $C_{Rmax.}$ 와 $U_{Rmax.}$ 은 入力에 對한 出力應答 C_R 의 最大오우버슈우트(maximum-overshoot) 및 플랜트 入力信號 U_R 의 最大值를 나타내며 그 때의 制限值는 각각 C_{RP} 와 U_P 이고 式(2·31), (2·32)의 $C_{Dmax.}$, $U_{Dmax.}$ 은 外亂에 對한 出力應答 C_D 와 그 때의 플랜트入力 U_D 의 最大值를 뜻하며 또한 C_{DP} 는 C_D 에 對한 制限值이며 t_P 는 制御system이 滿足해야 하는 rise time의 制限值이다.

3. 數 值 計 算

k , ζ , w_n 이 주어지는 二次系統의 實驗플랜트를 PI制御하는 制御system에 入力 $R=1$ 의 單位 階段狀入力과 $D=1$ 의 單位 階段狀 外亂이 加해질 때 먼저 制御器의 利得 K_P 값을 變化시키면서 積分時間 T_i 를 式(2·27)로부터 計算하고 이 때의 퍼래미터 K_P , T_i 값에서 評價函數 J 값을 式(2·28)에서 求하였다. 또한 式(2·21)의 狀態方程式을 遷移matrix(Transient matrix)法으로 0.02秒 間隔으로 15秒間 數值積分 하였으며 式(2·24)로 부터 制御system에 있어서의 $C_{Rmax.}$, $C_{Dmax.}$, $U_{Rmax.}$, $U_{Dmax.}$ 및 T_R 의 값을 計算하여 위에서 求한 퍼래미터가 주어진 制限條件를 滿足하는 값인지를 判定하였다.

여기서 15秒間의 積分時間은 制御system에 있어서의 應答이 거의 定常狀態의 值에 到達하게 되는데

充分한 時間이었으며 위와 같은 計算方法으로 求한 Fig. 3-1 은 $\zeta=0.1$, $w_n=1.0$ 인 制御對象을 갖는 制御系統에서 制御器의 利得 K_p 및 制御對象의 利得 k 의 곱 kK_p 값에 對해 評價函數를 最少로 하는 積分時間 T_i 값과의 對應關係를 나타내 주고 있다. 여기서 右側의 4 個의 軸은 각各 對應되는 퍼래미터 값에서 數值計算한 最大오우버슈우트 $C_{Rmax.}$, 플랜트入力의 最大值 $U_{max.}$, 外亂에 對한 出力의 最大值 $C_{Dmax.}$ 및 rise time T_R 的 値을 나타낸다. $k=1.0$, $\zeta=1.0$, $w_n=1.0$ 인 制御系統에서 最大許容值 $C_{RP}=45(%)$, $U_P=4.0$, $C_{DP}=0.45$, $t_p=1.5(sec)$ 와 같은 制限條件가 주어졌을 때 각制御特性의 最大值들이 最大許容值를 超過하지 않는 範圍內에서 最適퍼래미터를 求하고자 하면 Fig. 3-1 的 빛금친 양쪽 區域인 kK_p-T_i 曲線 中의 點線으로 表示된 線上의 各點이고 그림에서 보는 바와 같아 이 때의 最適퍼래미터 $\hat{K}_p=3.12$, $\hat{T}_i=15.6$ 되며 二乘制御面積 $\hat{J}=2.532$ 임을 알 수 있다.

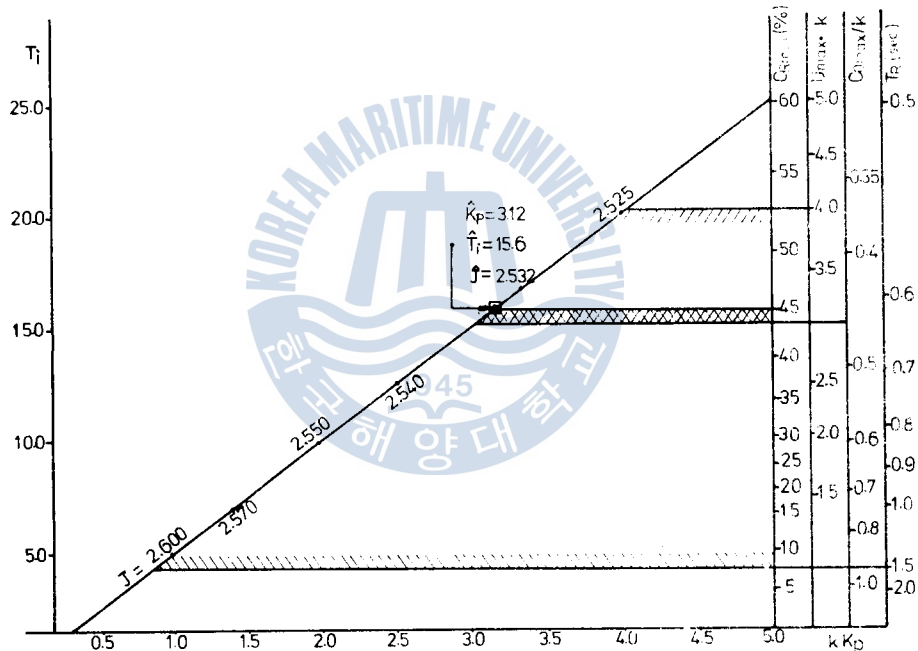
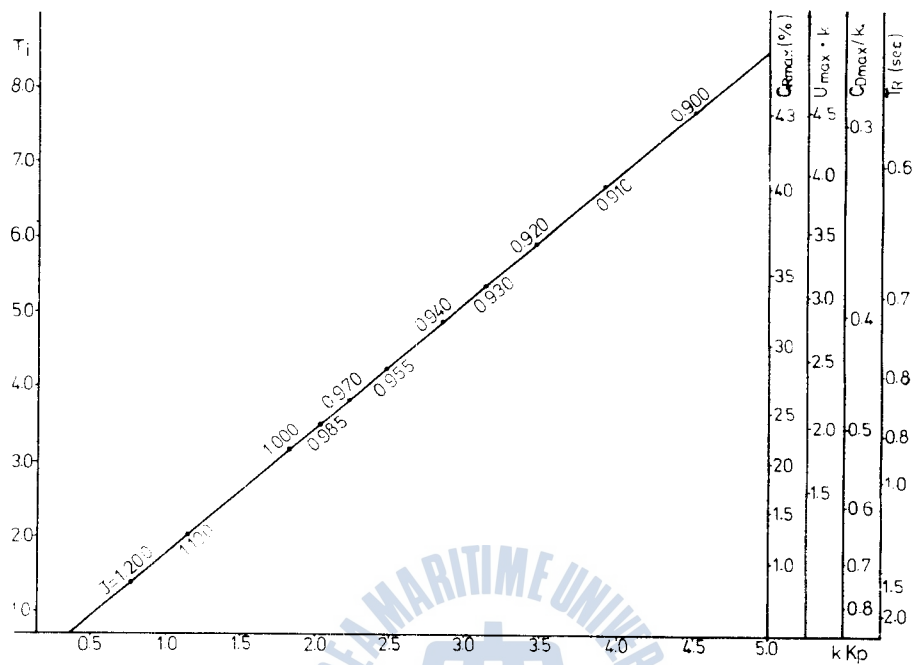
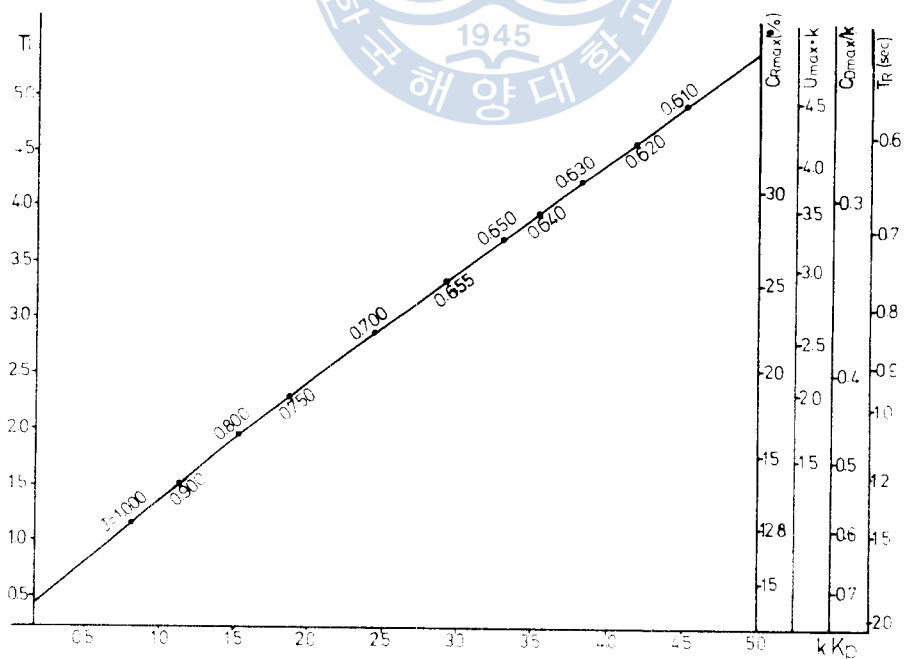
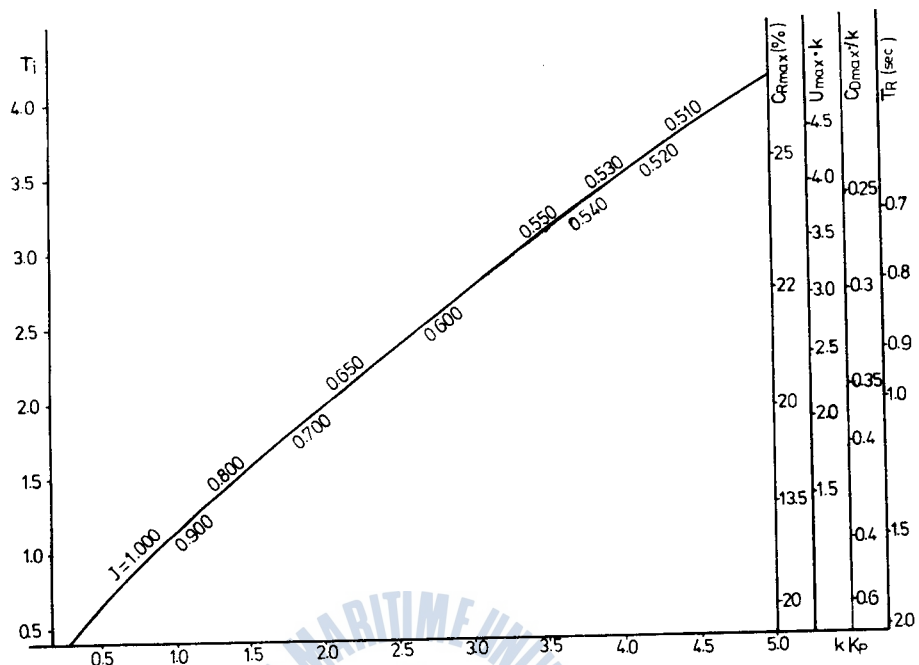
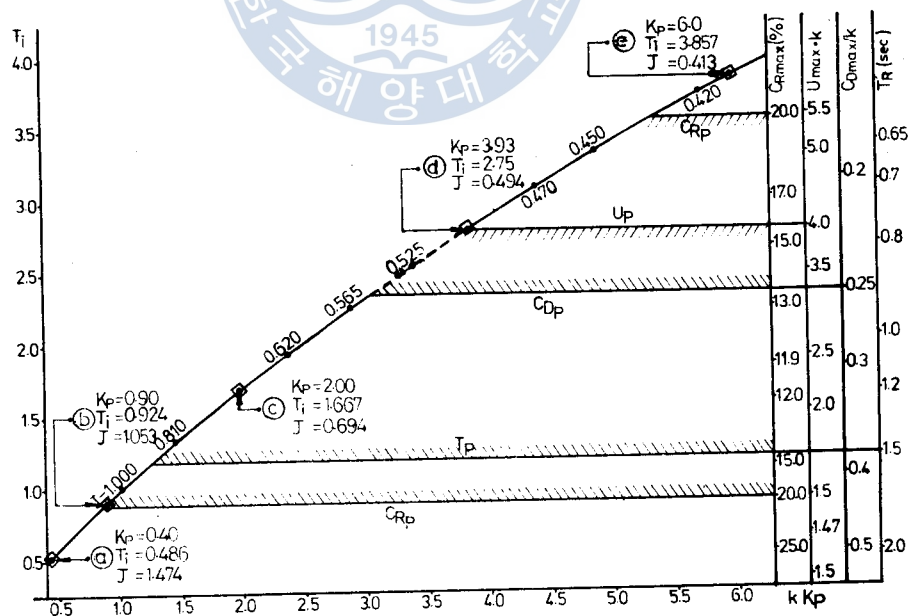


Fig. 3-1 kK_p-T_i curve for $\zeta=0.1$, $w_n=1.0$

또한 Fig. 3-2, 3-3, 3-4 및 3-5 는 制御플랜트의 퍼래미터 $w_n=1.0$ 인 系統에서 減衰率 ζ 가 각各 0.3, 0.5, 0.7, 1.0 인 境遇에서의 kK_p-T_i 曲線이며, $k=1.0$, $\zeta=1.0$, $w_n=1.0$ 인 制御플랜트에서 制御系統의 最大許容值가 각各 $C_{RP}=20(%)$, $U_P=4.0$, $C_{DP}=0.25$, $t_p=1.5(sec)$ 로 주어지면 Fig. 3-5 的 kK_p-T_i 曲線에서 양쪽 方向의 빛금친 양쪽 區域 即, 線上의 한點이고 위와 같은 制限條件下에서의 最適퍼래미터는 Fig. 3-5 에서 $\hat{K}_p=3.93$, $\hat{T}_i=2.75$ 가 됨을 쉽게 찾을 수 있고 이 때의 評價函數 $\hat{J}=0.494$ 임을 알 수 있다.

이와 같이 制御系統의 設計 時 合當한 設計要件이 주어지기만 하면 最適퍼래미터는 Fig. 3-1~Fig. 3-5로 부터 쉽게 求할 수 있다.

Fig. 3-2 kK_P-T_i curve for $\zeta=0.3, w_n=1.0$ Fig. 3-3 kK_P-T_i curve for $\zeta=0.5, w_n=1.0$

Fig. 3-4 $kK_P - T_i$ curve for $\zeta = 0.7$, $w_s = 1.0$ Fig. 3-5 $kK_P - T_i$ curve for $\zeta = 1.0$, $w_s = 1.0$

4. 應答實驗

4·1 装置と方法

앞의 計算方法에 依해서 求해진 各 퍼래미터값들에 對한 應答實驗을 行하기 為한 應答實驗裝置로 Hitachi 505E Analog Computer(Hitachi Electronics LTD. Co., Amplifier gain=10⁶)가 使用되었으며 應答實驗을 為한 아날로그컴퓨터 結線圖에 對해서 考察해 보면

i) 制御器 出力 $m(t)$

Fig. 2-1에서 제어기 부분만 분리하여 생각하면 $M(s)/E(s) = K_P + K_P/T_i S$ 이며 여기서 $M_1(s) = K_P E(s)$, $M_2(s) = (K_P/T_i S)E(s)$ 라고 두고 이것을 시간영역函數로 변환하면 $m_1(t) = K_P e(t)$, $\dot{m}_2(t) = (K_P/T_i)e(t)$ 가 되고 이것은 式(4-1)과 같이 表示된다.

ii) 制御対象の入力 $y(t)$

$U(s) = M(s) + D(s)$ 이므로 이경우 (4.2)를 각수 되다

iii) 制御系統의 用力 $c(t)$

制御 프래트의 值

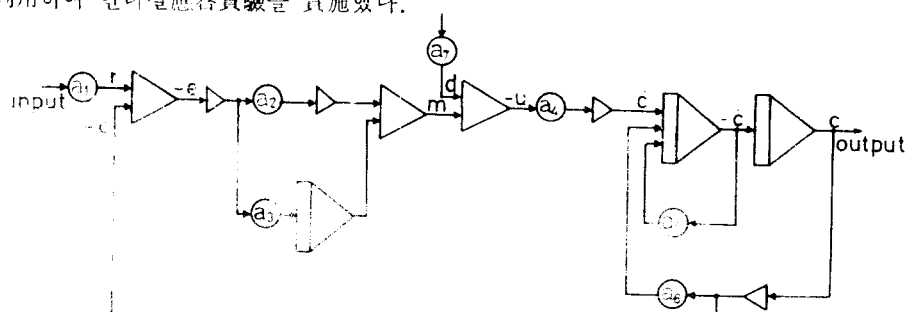
$$C(s)/U(s) = k w \tau^2 / (S^2 + 2 \zeta w_S S + w_S^2)$$

$$\ddot{c}(t) \equiv k\omega_n^2 u(t) - 2\zeta\omega_n \dot{c}(t) - \omega_n^2 c(t)$$

iv) 關節系 調差 $\rho(t)$

目標値와 제어 출력 간의 差의 線性 변환 $E(s) = R(s) - C(s)$ 을 다음과 같이 정의한다.

式(4·1)~(4·4)로 부터 全體系統에 對한 아날로그結線圖를 그리면 다음의 Fig. 4-5와 같으며 이 結線圖를 利用하여 이디션應答實驗을 實施했다.



$$a_1 = 0, 01$$

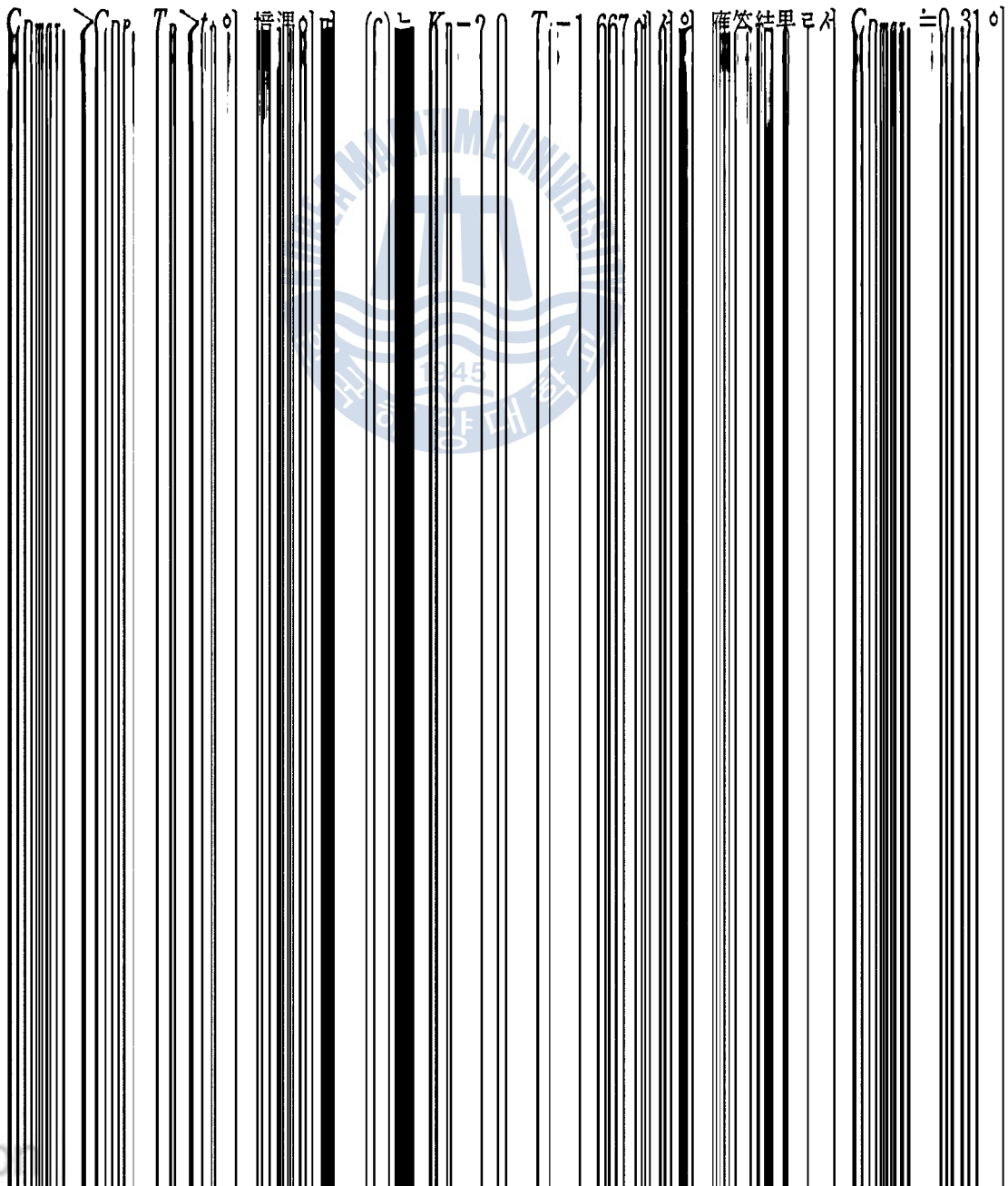
$\alpha \approx 2.7\mu m$

4·2 應答實驗 結果

Fig. 3-5의 ②~⑤는 $k=1.0$, $\zeta=1.0$, $w_n=1.0$ 인 實驗플랫에서 각각 아날로그 應答實驗을 行한 점들을 表示하고 있으며 이들에 對한 結果가 Fig. 4-6의 (a)~(e)와 같이 나타났다.

이 때 目標值 및 外亂의 入力은 각각 1(volt/cm)이며 對應되는 出力電壓 C_R , C_D 도 각각 1(volt/cm)이고 U_R 은 5(volt/cm)이다. 또 Recorder의 speed는 2.4(sec/cm)로 調整하였다. Fig. 3-5에서와 같이 各 制限條件인 $C_{RP}=20(\%)$, $U_P=4.0$, $C_{DP}=0.25$, $t_p=1.5(\text{sec})$ 의 最大許容值가 要求될 때 Fig. 4-6에서 보면 (a)는 點②의 應答實驗結果로서 $C_{R\max} \approx 25.3(\%)$, $C_{D\max} \approx 0.51$, $T_R \approx 2.0(\text{sec})$ 가 되어 Fig. 3-5의 kK_P-T_i 曲線에서 制限條件 C_{RP} , C_{DP} , t_p 를 滿足하는 領域 밖에 있음을 말해 준다.

또 (b)는 $K_P=0.9$, $T_i=0.924$ 에서의 應答實驗結果로서 $C_{D\max} \approx 0.42$, $T_R \approx 1.68(\text{sec})$ 가 되어



4. 應答實驗

4·1 装置と方法

일의 計算方法에 依해서 求해진 各 퍼래미터값들에 對한 應答實驗을 行하기 為한 應答實驗裝置로 Hitachi 505E Analog Computer(Hitachi Electronics LTD. Co., Amplifier gain=10⁵)가 使用되었으며 應答實驗을 為한 아날로그컴퓨터 結線圖에 對해서 考察해 보면

i) 制御器 出力 $m(t)$

Fig. 2-1에서 제어기 부분만 분리하여 생각하면 $M(s)/E(s) = K_p + K_p/T_i s$ 이며 여기서 $M_1(s) = K_p E(s)$, $M_2(s) = (K_p/T_i s)E(s)$ 라 두고 이것을 시간영역 함수로 변환하면 $m_1(t) = K_p e(t)$, $m_2(t) = (K_p/T_i)e(t)$ 가 되고 이것은 式(4-1)과 같이 表示된다.

ii) 制御対象の入力 $u(t)$

$U(s) = M(s) + D(s)\circ$] 를 이 것을 式(4·2)와 같이 되다

iii) 制御系統의 출력 $c(t)$

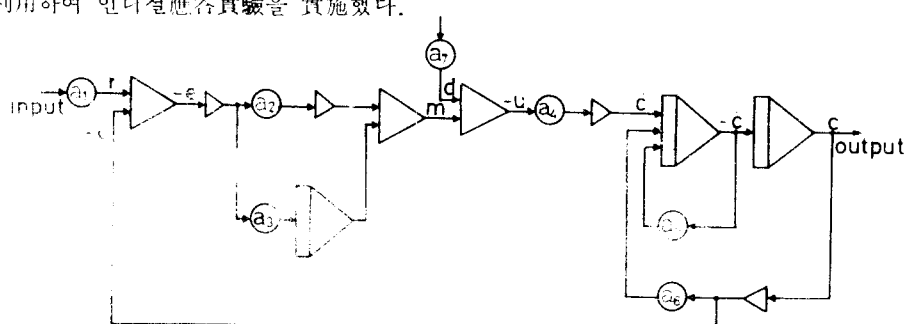
制御 플래트의 值畫面數

$$C(s)/U(s) = k w_r^2 / (S^2 + 2 \zeta w_r S + w_m^2) \quad \text{for } s = \pm \omega_m$$

iv) 制御系誤差 $e(t)$

目標値와 제어 출력 간의 差의 곱으로서 繼換 $E(s) = R(s) - C(s)$ 를 구함

式(4·1)~(4·4)로부터 全體系統에 對한 아날로그結線圖를 그리면 다음의 Fig. 4-5와 같으며 이 結線圖를 利用하여 이디션應答實驗을 實施했다.



$$a_1 = 0.01$$

$$\alpha = K_P$$

$$a_2 = K_P$$

$$a_i = kwn^i$$

$$a_5 = 2 \zeta w n$$

$$a_6 = w n^2$$

$$a_2 = 0, 01$$

Fig. 4-1 Analog computer block diagram for the system described by Eq. (2.7~14)

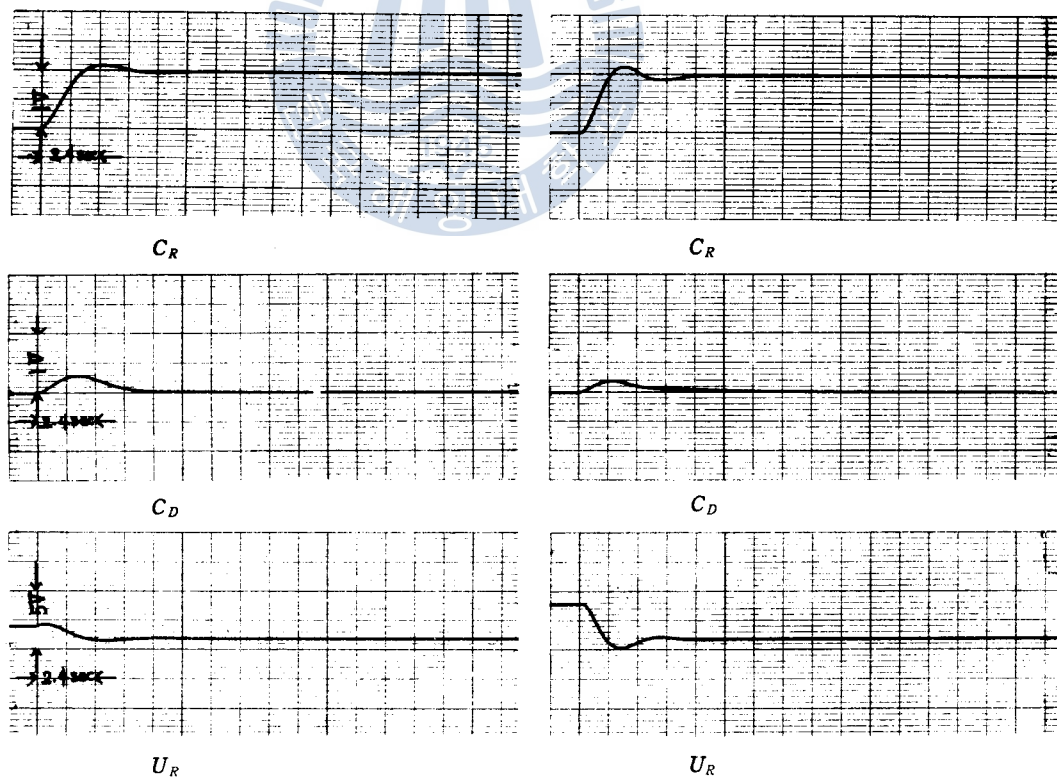
4·2 應答實驗 結果

Fig. 3-5의 ④~⑤는 $k=1.0$, $\zeta=1.0$, $w_n=1.0$ 인 實驗플랜트에서 각각 아날로그 應答實驗을 行한 点들을 表示하고 있으며 이들에 對한 結果가 Fig. 4-6의 (a)~(e)와 같이 나타났다.

이 때 目標值 및 外亂의 入力은 各各 1(volt/cm)이며 對應되는 出力電壓 C_R , C_D 도 各各 1(volt/cm)이고 U_R 은 5(volt/cm)이다. 또 Recorder의 speed는 2·4(sec/cm)로 調整하였다. Fig. 3-5에서 와 같이 各 制限條件이 $C_{RP}=20\%$, $U_P=4.0$, $C_{DP}=0.25$, $t_p=1.5$ (sec)의 最大許容值가 要求될 때 Fig. 4-6에서 보면 (a)는 點④의 應答實驗結果로서 $C_{Rmax} \approx 25.3\%$, $C_{Dmax} \approx 0.51$, $T_R \approx 2.0$ (sec)가 되어 Fig. 3-5의 kK_P-T_i 曲線에서 制限條件 C_{RP} , C_{DP} , t_p 를 滿足하는 領域 밖에 있음을 말해 준다.

또 (b)는 $K_P=0.9$, $T_i=0.924$ 에서의 應答實驗結果로서 $C_{Dmax} \approx 0.42$, $T_R \approx 1.68$ (sec)가 되어 $C_{Dmax} > C_{DP}$, $T_R > t_p$ 인 境遇이며, (c)는 $K_P=2.0$, $T_i=1.667$ 에서의 應答結果로서 $C_{Dmax} \approx 0.31$ 이고 $C_{Dmax} > C_{DP}$ 인 境遇임을 보여 주고 있다.

또한 (d)는 $\hat{K}_P=3.93$, $\hat{T}_i=2.75$ 로서 위의 플랜트에 對해 이와 같은 最大許容值가 要求되는 制御系에서 퍼래미터 K_P , T_i 的 最適值인 境遇인데 그림(d)에서 살펴보면 $C_{Rmax} \approx 15.6\%$, $U_{max} \approx 4.0$, $C_{Dmax} \approx 0.22$, $T_R=0.78$ (sec)로서 모든 制限條件를 滿足함을 알 수 있다. (e)는 $K_P=6.0$, $T_i=3.87$ 일 때의 應答結果인데 이 때의 評價函數 J 는 ④~⑤의 어느 境遇보다 적지만 $C_{Rmax} \approx 21.8\%$,



(a) $K_P=0.4$, $T_i=0.486$
 $k=1.0$, $\zeta=1.0$, $w_n=1.0$

(b) $K_P=0.9$, $T_i=0.974$
 $k=1.0$, $\zeta=1.0$, $w_n=1.0$

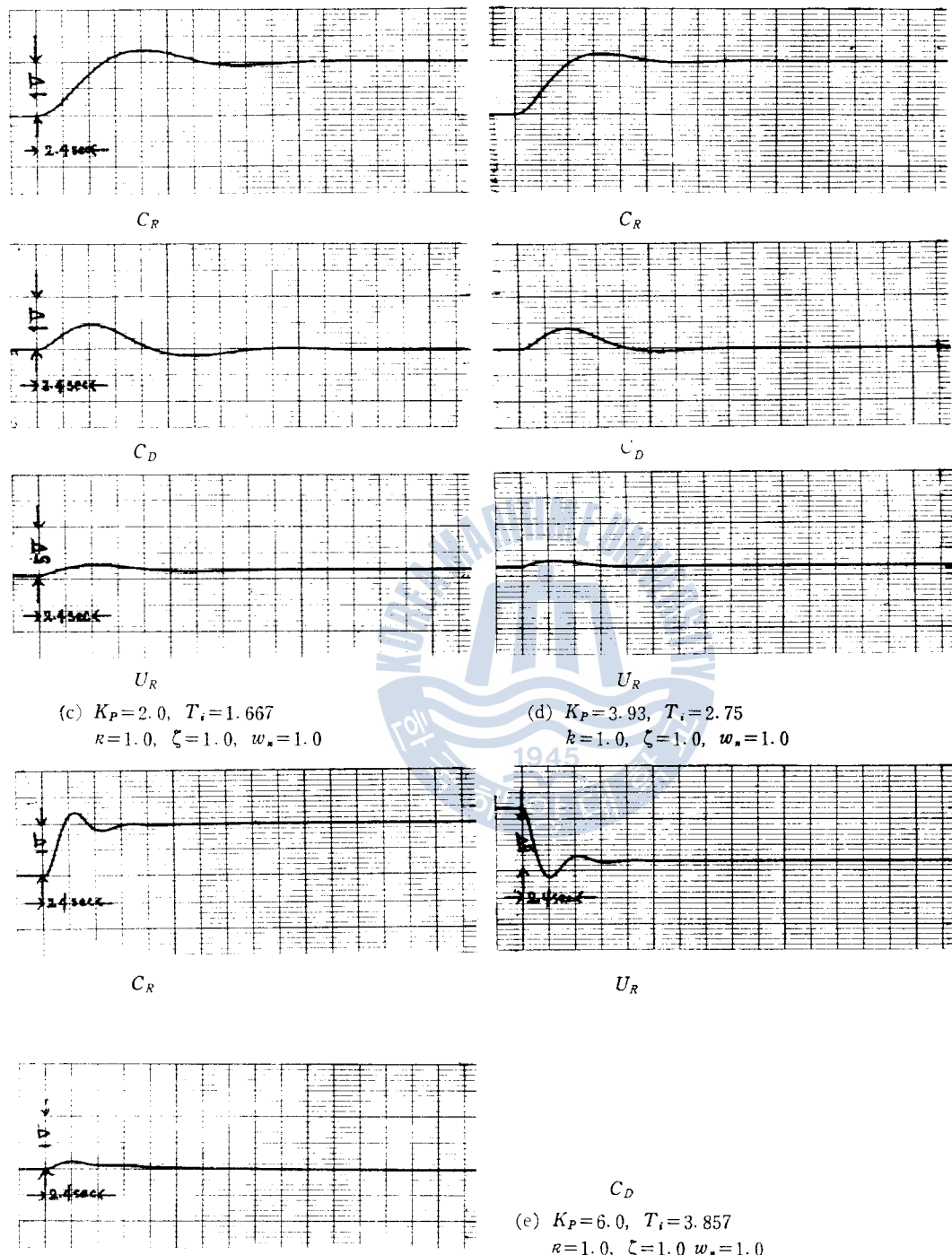


Fig. 4-2 indicial responses of the system experimented for Fig. 3-5 ③ ~ ⑤

$U_{max} \approx 6.03$ 이 되어 $C_{Rmax} > C_{RP}, U_{max} > U_P$ 인 境遇임을 보여 주고 있으며 實際로 制限條件이 賦與되었을 때에는 適切한 K_P 值을 指해야 함을 말해 준다.

5. 檢 計

5·1 制御器의 폴라미터에對한 檢討

앞에서 制御器의 利得 K_P 的 어떠한 값에 對해서도 評價函數를 最少로 하는 積分時間 T_i 값은 式 (2·27)에 依해서 一意的으로 決定되어 置을 밝힌 바 있으며 또한 式(2·28)과 같이 表示되는 評價函數 J 값도 利得 K_P 값의 增加와 더불어 減少함을 밝혔다.

그러나 J 값을 더욱 더 감소시키기 위해 K_p 값을 증가시키면 제어系의 最大오우버슈우트 C_{Rmax} 과 제어對象의 最大入力值 U_{max} 이 증가함을 Fig. 4-2 의 ④~⑤에서 쉽게 판斷할 수가 있다.

反面에 利得 K_P 欲이 增加될 境遇에 對한 出力 $C_{Dmax.}$ 은 減少하며 C_R 的 應答速度는 빨라짐을 위 Fig. 4-2의 ④~⑤에서 알 수 있다.

5·2 w_n 에 對한 檢討

本論文 3章에서 提示한 $kK_P - T_i$ 曲線은 $w_n = 1.0$ 인 境遇의 最適퍼래미터를 求하는 圖表이지만, 本節에서는 $w_n = 1.0$ 이 아닌 制御對象에 對한 最適퍼래미터를 決定하는 方法에 對해서 考察해 보기로 한다.

i) Fig. 2-1의 제어기 전달함수를 미분방정식으로 표시하면

론 되다.

여기서 $w_{nt} = \tau$ 라 두면

$$wndt = d\tau$$

또 式(2·27)을 式(5·1)에 代入하고 兩邊을 K_P 로 나누면 다음과 같이 表示된다.

$$\text{但, } f(kK_p, \zeta) = \frac{2\zeta(\sqrt{(kK_p+1)(kK_p+4\zeta^2-1)}+1)-1}{kK_p(kK_p+4\zeta^2-1)}$$

ii) 制御對象의 傳達函數를 微分方程式으로 表示하여

$\ddot{c}(t) + 2\zeta w_n \dot{c}(t) + w_n^2 c(t) = k w_n^2 u(t)$ 와 같이 되고 離散 을 K_p 를 나누고 i) 과 같은 要領 으로 하면

와간이되다

式(5.2), (5.3)을 라프라스變換하여 Fig. 2-1에 對한 等價回路를 그리면 다음과 같다.

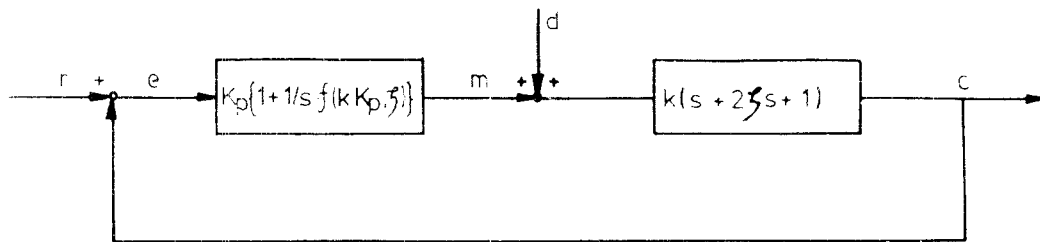


Fig. (2-1)'

等價回路 Fig. (2-1)'와 같은 制御系統에서는 w_n 의 項을 包含하지 않으며 이것은 出力應答이 w_n 에 無關하고 但只 應答時間은 $\tau = w_n t$ 의 關係가 있음을 알 수 있다.

마지막 制御對象의 w_n 이 1.0이 아닌 境遇 評價函數 J' 는

$$J' = \int_0^\infty e^2(t) dt = \int_0^\infty e^2(\tau) \frac{1}{w_n} d\tau = \frac{1}{w_n} \int_0^\infty e^2(\tau) d\tau$$

가 되며 rise time T_R' 는

$$T_R' = \frac{1}{w_n} \cdot T_R$$

또한 積分時間 T_I' 는

$$T_I' = \frac{1}{w_n} \left\{ \frac{k K_p (k K_p + 4 \zeta^2 - 1)}{2 \zeta (\sqrt{(k K_p + 1)(k K_p + 4 \zeta^2 - 1)} + 1 - 1) } \right\}$$

과 같이 된다.

위의 結果를 利用하여 w_n 이 1.0이 아닌 境遇에 本論文 3章에서 提示한 $k K_p - T_i$ 曲線을 利用할 때는 J' , T_R' , T_I' 의 值은 J , T_R , T_I 의 值과 쭈, Fig. 3-1~3-5에서 求한 諸數值로 부터 $\frac{1}{w_n}$ 을 곱함으로써 얻을 수가 있다.

5·3 應答實驗에 對한 檢討

ζ 의 值이 출수록 評價函數 J 는 적은 傾向을 나타내고 應答時間 즉, 定常狀態에 到達하는 時間은 빨라진다는 것은 앞의 參考文献 2에서 充分히 檢討한 바 있으며 Fig. 3-1~3-5에서 살펴보면 ζ 의 值이 출수록 外亂에 對한 出力 C_{Dmax} 은 減少하는 傾向을 나타내고 있으며 플랜트 最大入力 U_{max} 은 ζ 의 值變化에 對해 거의 一定한 狀態를 보이고 있음을 알 수 있다.

Fig. 5-1의 (a), (b)는 $k=1.0$, $\zeta=0.1$, $w_n=1.0$ 및 $k=1.0$, $\zeta=0.5$, $w_n=1.0$ 인 플랜트의 $K_p=3.93$ 일 때의 應答實驗結果인데 (a)의 境遇 $C_{Dmax} \approx 0.37$, $U_{max} \approx 3.95$ 이며 $J=0.5$ 인 (b)의 境遇 $C_{Dmax} \approx 0.28$, $U_{max} \approx 3.98$ 을 나타내고 있으며 이것과 Fig. 4-6의 (d)와 比較해 보면 위와 같은 ζ 에 對한 特性變化의 傾向을 쉽게 알 수 있다.

또한 Fig. 5-2의 (a), (b)는 $k=1.0$, $\zeta=1.0$, $w_n=3.0$ 및 $k=1.0$, $\zeta=1.0$, $w_n=5.0$ 인 플랜트에 對해 $K_p=3.93$ 일 때의 應答實驗結果이다.

이것도 위와 마찬가지로 Fig. 4-6의 (d)와 比較해 보면 w_n 이 출수록 評價函數 J , rise time T_R 및 應答時間이 減少하는 傾向을 나타내며 C_{Rmax} , U_{max} , C_{Dmax} 은 w_n 에 無關하다는 것을 應答實驗結果

果로서 確認할 수가 있다.

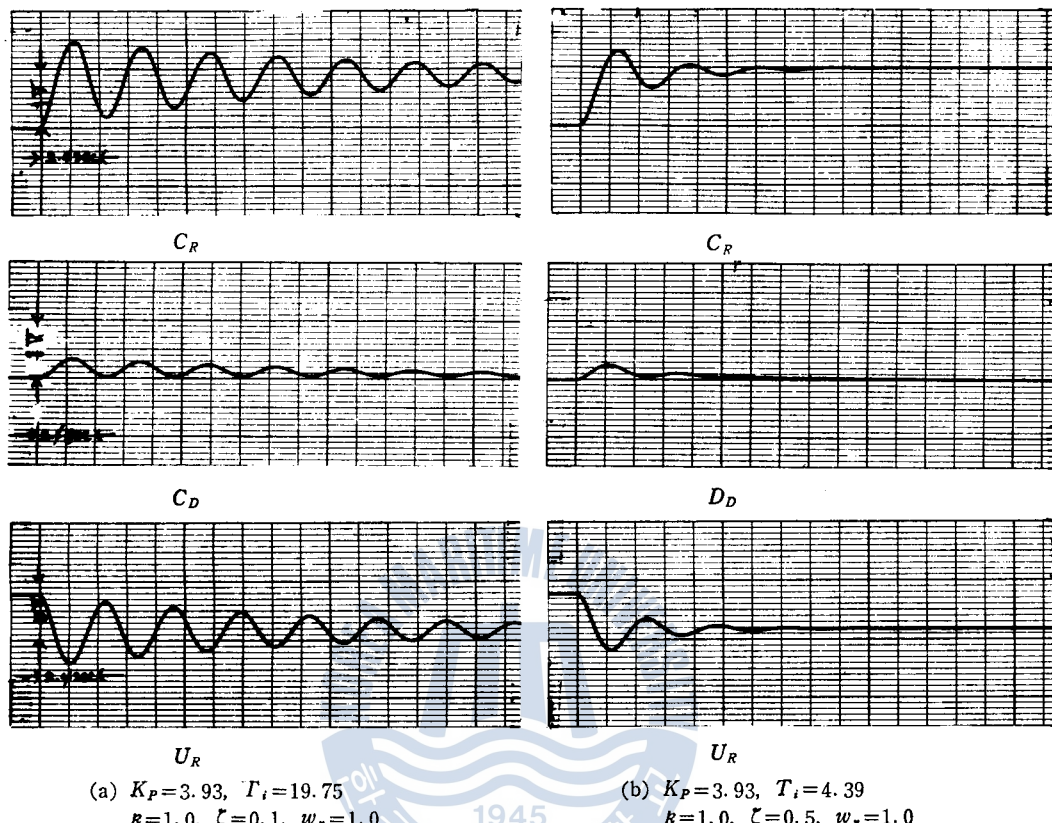


Fig. 5-1 indicial responses of the system experimented.

5·4 制限條件에 對한 檢討

制御系統의 目的과 性質에 따라 諸各己 要求되는 最適制御目的을 達成하기 為해 本 論文에서는 制御系統에 各種 制限條件을 賦與하고서 그 系統의 最適퍼래미터를 求했다. 이려한 制限條件들은 萬若 制御對象이 外亂에 對한 制御量의 變動特性보다는 目標值의 變化에 對한 制御量의 追從特性이 複雑 더 重要視되는 追值制御系統인 서어보메카니즘의 境遇에 있어서는 C_{Rmax} . 과 rise time 等에 對해 注意해서 考慮해 볼 必要가 있으며 또한 定值制御系統에서는 目標值의 變化에 對한 制御量의 應答特性보다는 外亂에 對한 制御量의 變動特性이 問題가 되므로 이 때는 制限條件 賦與 時 C_{Dmax} .에 對해 보다 더 注意해서 考慮할 必要가 있다.

또한 Fig. 3-1~Fig. 3-5에서 알 수 있듯이 이려한 制限條件들은 각各 獨立된 것이 아니며 萬若 最大오우버슈우트 C_{Rmax} . 과 플랜트入力 U_{max} . 값을 改善하고자 最大許容值 C_{RP} 와 U_P 를 낮추면 相對的으로 外亂에 對한 出力 C_{Dmax} . 값과 rise time T_R 값의 許容值 C_{DP} 와 t_p 를 上向調整하지 않으면 안될 것이다.

따라서 設計하고자 하는 制御系統의 制限值를 設定하는데 있어서 充分한 注意가 要望되며 주어

진制御系統의 目的에 따라 過渡應答의 形과 rise time 等을 充分히 考慮하여 設計基準을 指定해야 할 必要가 있다.

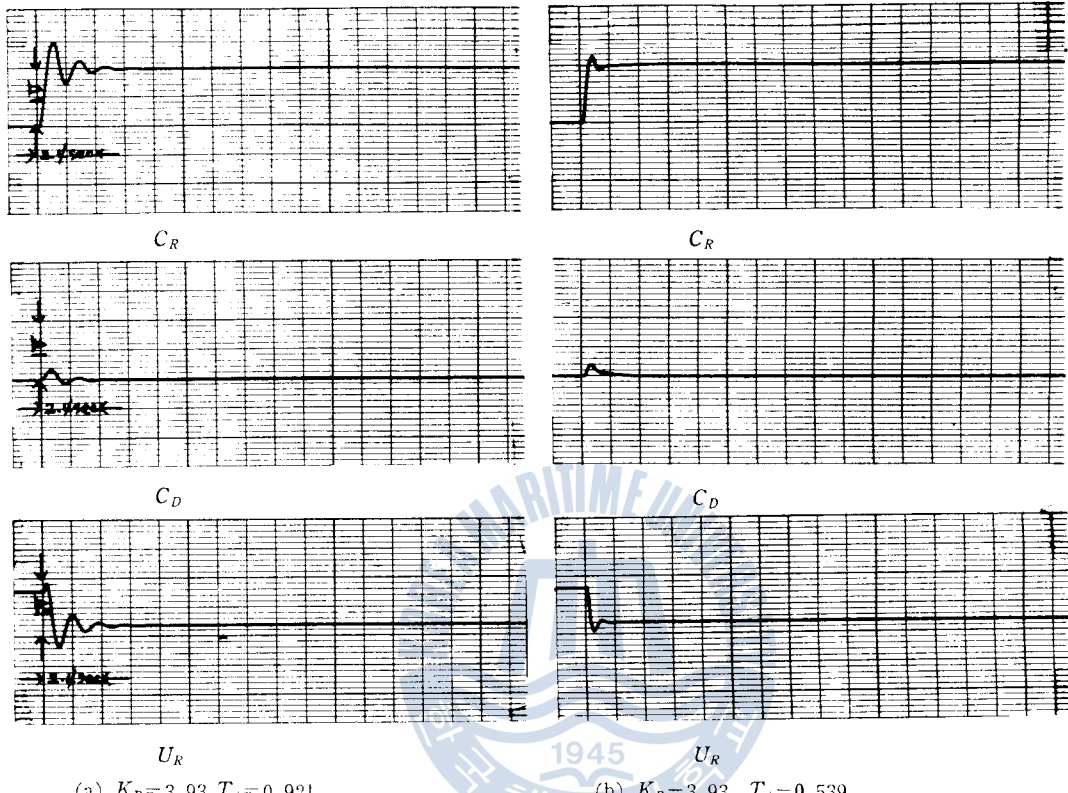


Fig. 5-2 indicial responses of the system experimented.

5·5 周波數應答에 對한 檢討

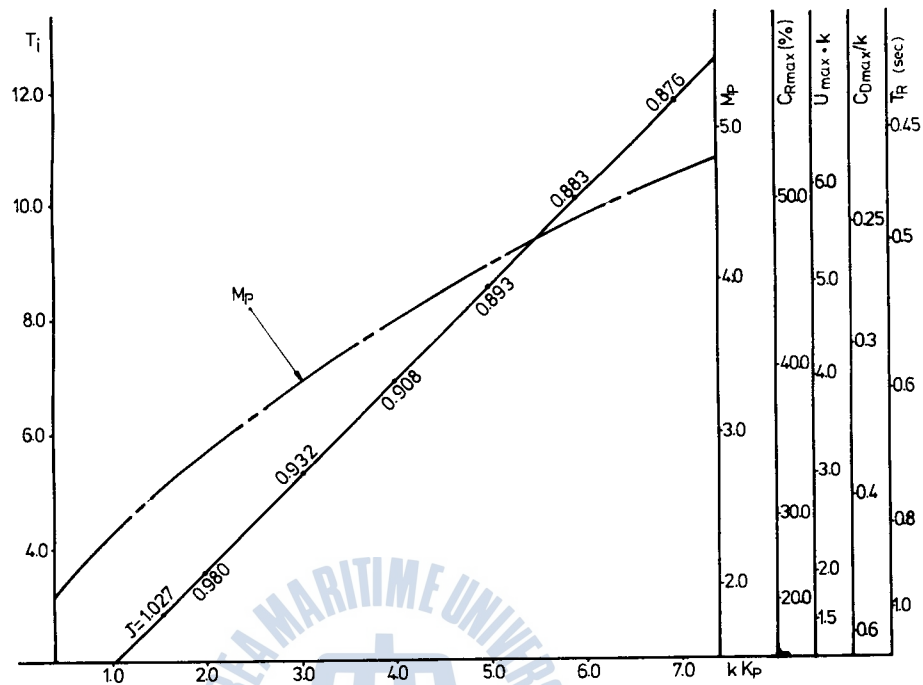
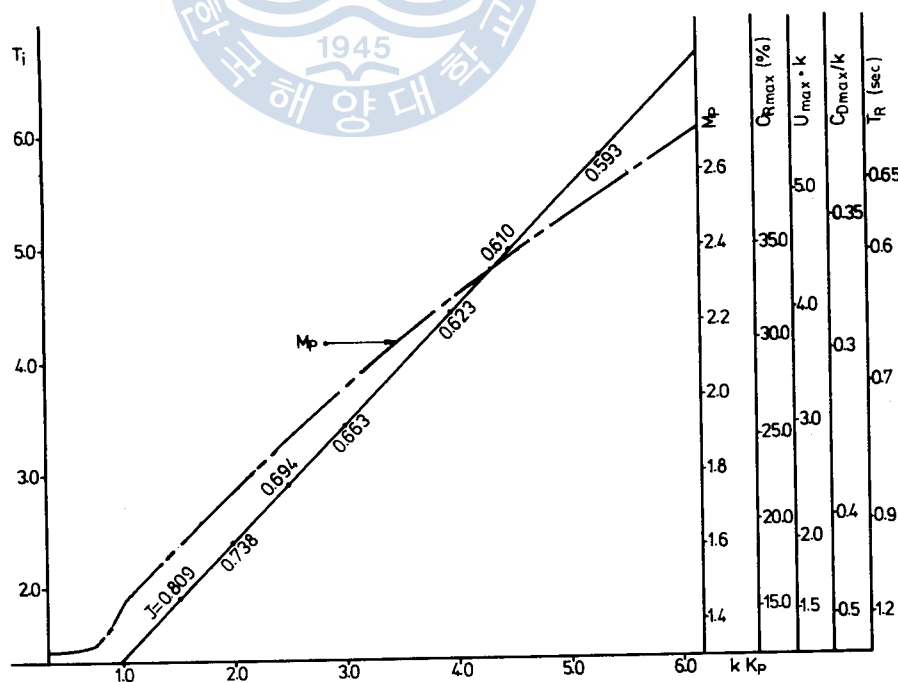
Fig. 5-3~Fig. 5-5는 $kK_P - T_r$ 曲線과 周波數應答에서의 共振頂點 M_P 值와의 關係를 圖示한 것으로서 그림上의 實線으로 表示한 것은 $kK_P - T_r$ 曲線을 나타내며 一點鎖線으로 表示한 것이 K_P 에 對한 M_P 值을 나타내고 있다. M_P 值은

$$M_P = |F(jw)| = kK_P \sqrt{\frac{1/T_r^2 w_n^2 + v_p^2}{(kK_P/T_r w_n - 2\zeta v_p)^2 + [v_p(1+kK_P) - v_p^3]^2}} \quad \dots\dots\dots (5 \cdot 4)$$

(但, $v_p = w_p/w_n$, w_p ; resonant frequency)

로 부터 計算할 수가 있다.

그림에서 알 수 있듯이 대체로 M_P 值은 K_P 值의 增加와 더불어 增加함을 나타내고 있으며 K_P 值의 增加에 따라서 M_P 值도 增加하는 系統에 있어서는 評價函數 J 欲을 낮추기 為해 K_P 值을 크게 하거나 또는 外亂에 對한 出力 C_{Dmax} , rise time T_r 에 對한 許容值을 上向調整하게 되면 共振值 M_P 는 좀 더 높은 值을 取하지 않으면 안되는 結果가 된다.

Fig. 5-3 $kK_p - M_p$ curve and $kK_p - T_i$ curve for $k=1.0$, $\zeta=0.3$, $w_s=1.0$ Fig. 5-4 $rK_p - M_p$ curve and $kK_p - T_i$ curve for $k=1.0$, $\zeta=0.5$, $w_s=1.0$

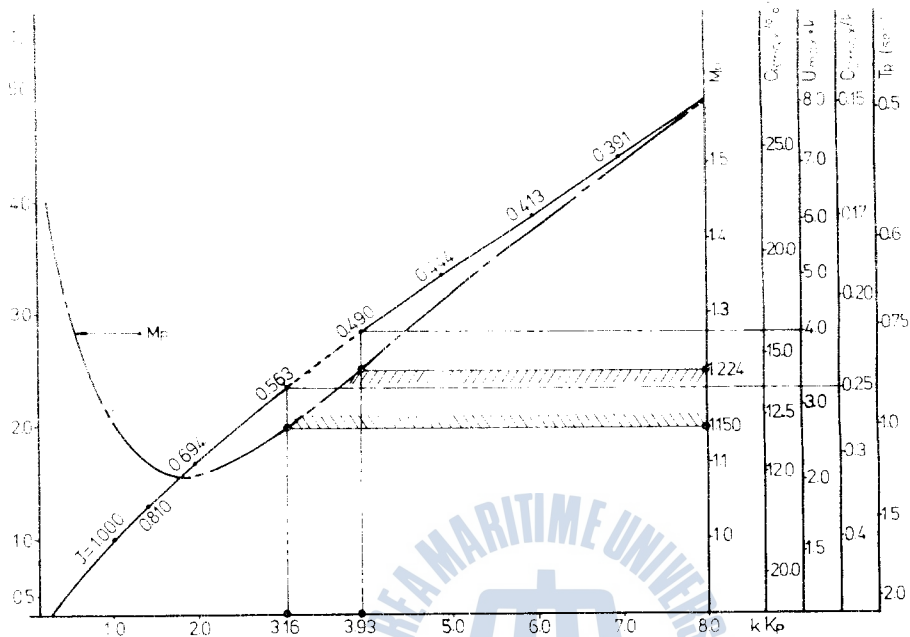


Fig. 5-5 kK_p-M_p curve and kK_p-T_i curve for $k=1.0$, $\zeta=1.0$, $w_n=1.0$

Fig. 5-5에서 주어진 期限條件를 滿足하는範例內에서의 M_P 値은 1.15~1.224가 되는데 이 값은一般的으로 使用되는 特性明細로서의 M_P 值에 對해 滿足할 만한 값이다.⁸⁾

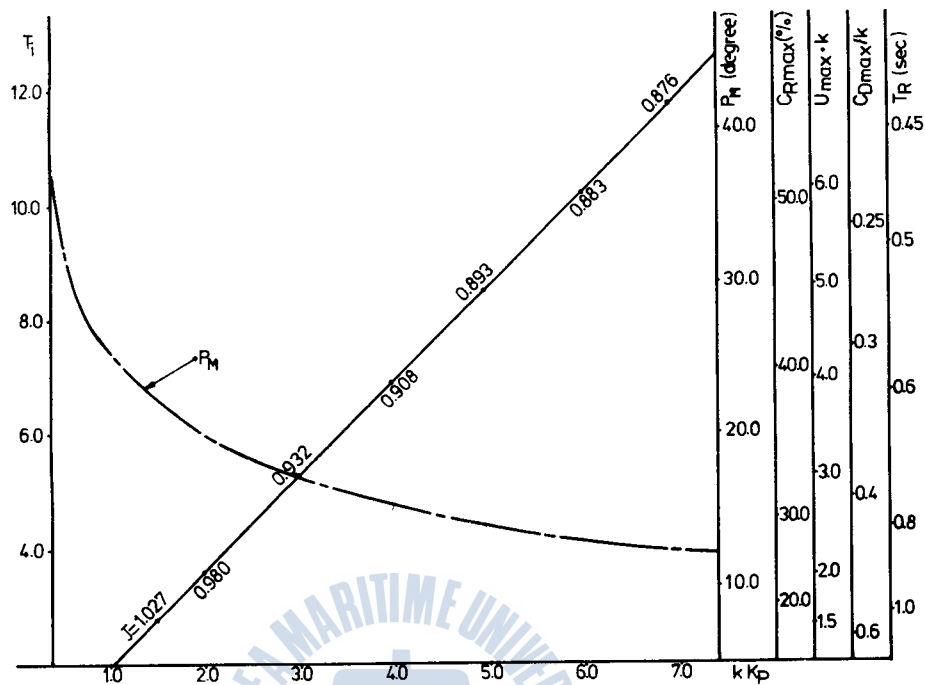
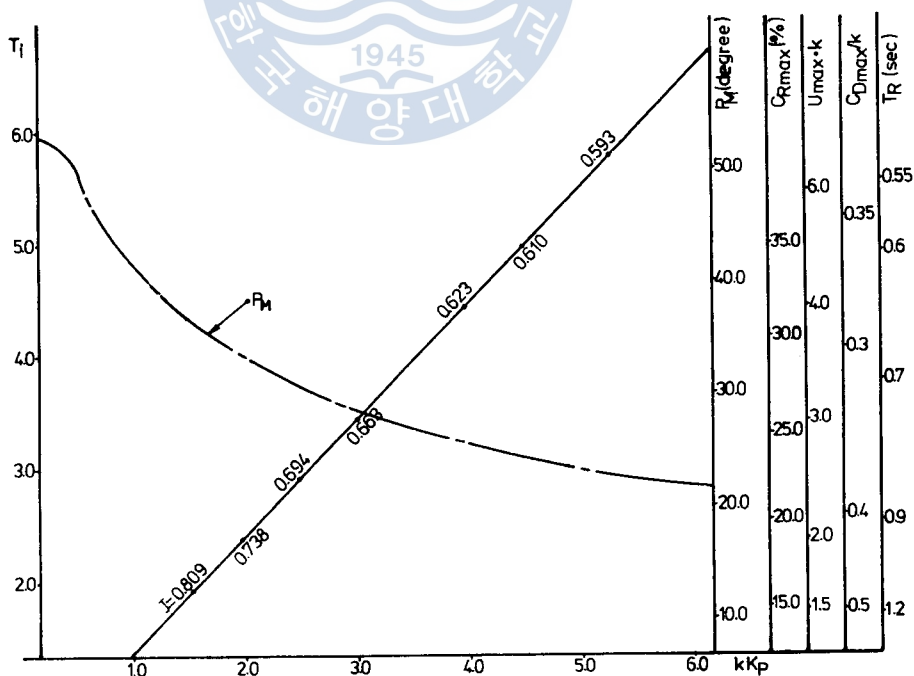
實際上制御系統의 設計에 對해 M_P 値는 特性設計(synthesis)에 있어서 重要한 特性明細 中의 하나 이므로 調節系 設計 時 慎重히 檢討할 必要가 있겠다.

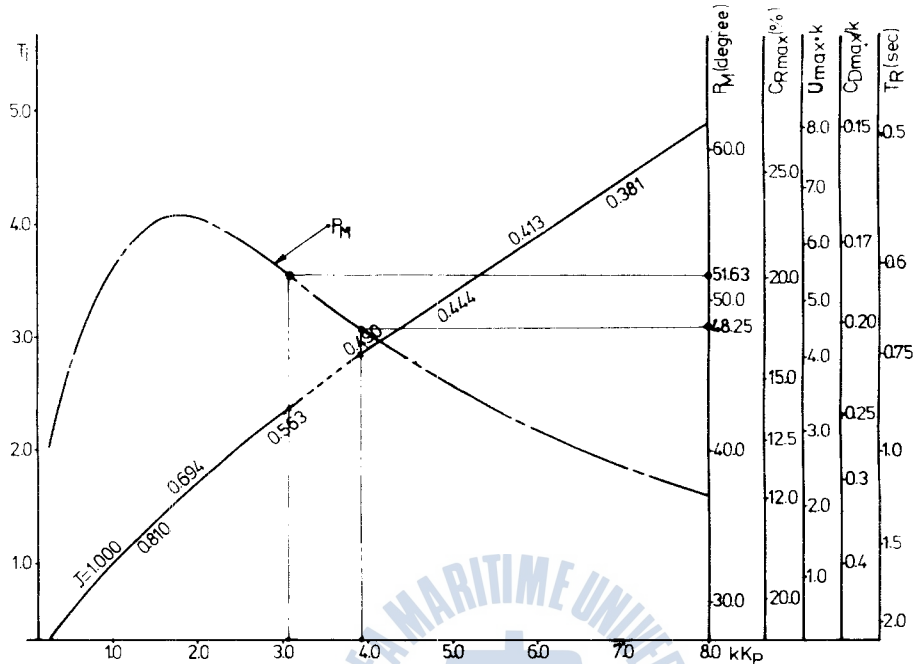
또한 각각 $k=1.0$, $\zeta=0.3$, $w_n=1.0$, $k=1.0$, $\zeta=0.5$, $w_n=1.0$ 및 $k=1.0$, $\zeta=1.0$, $w_n=1.0$ 인
系統에 對해서 位相餘裕(phase margin) P_M 과 kK_P-T 曲線과의 關係를 나타내고 있는 Fig. 5-6~Fig.
5-8에서 알 수 있듯이 制御器의 利得 K_P 값이 增加할 수록 位相餘裕 P_M 은 대체로 減少하는 傾向을
보이고 있다.

제어계 시스템의 P_M 값 계산은

Fig. 5-8에서 살펴 보면 $k = 1.0$, $\zeta = 1.0$, $w_n = 1.0$ 인 系統에 對해 制限條件이 각각 Fig. 3-5에서 와 같이 주어졌을 때 이러한 制限條件를 滿足하는 範圍인 $K_P = 3.16 \sim 3.93$ 에서 $P_M = 51.63^\circ \sim 48.25^\circ$ 의 값을 取하게 되는데 이것은 制御系 設計 時 特性明細로서의 P_M 값에 對해 充分히 滿足할 만한 結果이다.¹⁰⁾

勿論 위와 같은 系統에 對해 주어진 制約條件下에서는 $K_P = 3.93$, $T_i = 2.75$ 의 값을 評價函數 J 爲을

Fig. 5-6 $kK_P - P_M$ curve and $kK_P - T_i$ curve for $k = 1.0$, $\zeta = 0.3$, $w_n = 1.0$ Fig. 5-7 $kK_P - P_M$ curve and $kK_P - T_i$ curve for $k = 1.0$, $\zeta = 0.5$, $w_n = 1.0$

Fig. 5-8 $kK_p - P_M$ curve and $kK_p - T_i$ curve for $k=1.0$, $\xi=1.0$, $w_s=1.0$

을最少로 하는最適파라미터로서求했지만萬若制御系統의特性設計에 있어서 이와 같은 M_P 值나 P_M 을重要觀한다면 Fig. 5-3~Fig. 5-8을利用하여最適파라미터設定에對해充分히考慮할 수 있으리라 생각되며 또한境遇에따라서는보다더適切한最適파라미터를求할수도있겠다.

6. 結論

以上과같이本論文에서는二次系統을制御對象으로하는單位파이드백制御system에있어서PI制御器를使用할時주어진制限條件를滿足하면서評價函數를最少로하는 K_p 와 T_i 값을求하는方法에對해서考察하고數值計算을通하여플랜트의파라미터와制限值만주어지면制御器의最適파라미터를바로求할수있는圖表를提示하였는바,本圖表는計測制御器製作者나計裝關係實務者에게便利하게利用될것으로期待된다.

本方法에서는河等²⁾이研究發表한制限條件이缺을때의 K_p 의最適值와 T_i 의最適值와의理論的關係式이그대로利用될수있기때문에數值計算에있어서計算量과計算時間을相當히節約할수있으며또한Analog計算機를利用하여應答實驗을行한結果로부터本方法의妥當性을確認할수있었다. 그리고檢討面에있어서는制御system의周波數應答特性에對해서도充分히檢討함으로써보다더適切한最適파라미터를求하는데도움을주고자하였다.

그러나本稿에서는實際의플랜트를通한實驗을行하지못한點이아쉬우며本稿에서行하지못한二次系統以外의플랜트와PID制御器에對한考察은앞으로의課題가될것이다.

參 考 文 獻

1. 河注植・柳吉洙; PID 制御器의 最適調整에 關한 研究, 韓國海洋大學 論文集, Vol. 2(1979).
2. 河注植・陳康奎; 2 次系의 制御對象에 對한 PI 制御器의 最適調整에 關한 研究, 韓國海洋大學 論文集, Vol. 16, pp. 209~236(1981).
3. Chestnut, H., and R. W. Mayer; Servo mechanisms and Regulating system design, 2nd. ed., Vol. 1, Wiley, N. Y. (1959).
4. Guillemin, E. A.; The mathematics of circuit Analysis, Wiley, N. Y. (1949).
5. Truxal, J.G.; Automatic feed back control system synthesis, McGraw-Hill, N. Y. (1955).
6. Savant, C. J., Jr.; Basic feed back control system design, McGraw-Hill, N. Y. (1960).
7. John, J. D'Azzo and C. H. Houpis; Linear control system Analysis and design, McGraw-Hill, Kingsport, pp. 494~550(1975).
8. B. J. Kuo; Automatic control system, 4th. ED., Prentice-Hall Inc., Eaglewood cliffs., N. J. pp. 308~372(1982).
9. 河注植; 自動制御工學, 韓國海洋大學 海事圖書出版部, 釜山: pp. 233~330(1974).
10. 前揭書 9.
11. K. A. Afimina; optimum design of control system compensators Trans. ASME, Vol. 100, pp. 140~151 (1978).
12. Brice Carnahan, H. A. Luther and James, O. Wilkes; Applied numerical method, John wiley & sons, Inc., N. Y., pp. 361~366(1969).
13. James, A. Cadzow and Hinrich R. Martens; Discrete-Time and computer control system, Prentice-Hall, Inc., N. Y., pp. 187~190(1970).
14. Nims, P. T.; Some Design criteria for Automatic controls, Trans. AIEE, Vol. 70(1951).
15. Andrew, P. sage and chelsea C. white, III; optimum systems control, Prentice-Hall, Inc., N. J., pp. 87~103(1977).
16. W. A. Wolovich; Linear multivariable system; Springer-Verlag, N. Y. pp. 77~95(1974).
17. Ziegler, J. G. and Nichols, N. B.; optimum. settings for automatic controllers, Trans. ASME, Vol. 64, No. 8. pp. 759~768(1942).